

Research Paper

Investigation of Structural Parameters of InAs in Zincblende and Wurtzite Phase¹

Hamdollah Salehi *² and Soghra Bahrami Dehtooni³

Received: 2019.09.18

Revised: 2020.05.03

Accepted: 2020.07.29

Abstract

In this paper, we have calculated the InAs structural parameters such as lattice constant, bulk modulus and its derivative, stability and density state in zincblende and wurtzite phases. The calculations have been performed using pseudopotential method in the framework of density functional theory by Espresso package. The calculated structural parameters are in good agreement with experimental results. The results showed that zincblende phase is more stable than wurtzite phase and InAs in zincblende and wurtzite phases is a narrow gap semiconductor. Also, the results of the contribution of different orbitals show that in the conduction band, there is a strong overlap between p orbitals of In and As atoms and the orbital s of In, while at the top of the valence band, the overlap of p orbitals of In and As atoms is predominant.

Keyword: *InAs, Density Functional Theory, Quantum Espresso, Pseudopotential.*

¹ DOI: 10.22051/ijap.2020.17549.1082

² Associate Professor, Department of Physics, Faculty of Science, Shahid Chamran University of Ahvaz, Ahvaz, Iran. (Corresponding Author). Email: salehi_h@scu.ac.ir

³ M.Sc. Student, Department of Physics, Faculty of Science, Shahid Chamran University of Ahvaz, Ahvaz, Iran. Email: sbahrami12@yahoo.com

بررسی پارامترهای ساختاری و ساختار نواری InAs در دو فاز بلندروی و ورتسایت^۱

حمدالله صالحی*^۲ و صغیر بهرامی ده‌تونی^۳

تاریخ دریافت: ۱۳۹۸/۰۶/۲۷

تاریخ بازنگری: ۱۳۹۹/۰۲/۱۴

تاریخ پذیرش: ۱۳۹۹/۰۴/۰۸

چکیده

در این مقاله، پارامترهای ساختاری از جمله ثابت‌های شبکه، مدول حجمی و مشتق آن، پایداری و ساختار نواری ترکیب InAs در دو فاز بلندروی و ورتسایت بررسی شده است. محاسبات در چارچوب نظریه تابعی چگالی و با روش شبیه‌پتانسیل با پارامترهای توسط بسته نرم‌افزاری اسپرسو انجام شده است. نتایج به دست آمده و از جمله مقادیر ثابت شبکه محاسبه شده با نتایج تجربی در سازگاری خوبی هستند. نتایج بیان‌گر آن است که فاز بلندروی پایدارتر است و در هر دو فاز، نیم‌رسانایی با شکاف کوچک است. همچنین، نتایج حاصل از مشارکت اریتال‌های مختلف نشان می‌دهد که در نوار رسانش همپوشانی قوی بین اریتال‌های In و As و اریتال S از اتم InAs در

^۱ DOI: 10.22051/ijap.2020.17549.1082

^۲ دانشیار، گروه فیزیک، دانشکده علوم، دانشگاه شهید چمران اهواز، اهواز، ایران. (نویسنده مسئول).

salehi_h@scu.ac.ir

^۳ دانشجوی کارشناسی ارشد، گروه فیزیک، دانشکده علوم، دانشگاه شهید چمران اهواز، اهواز، ایران.

sbahrami12@yahoo.com

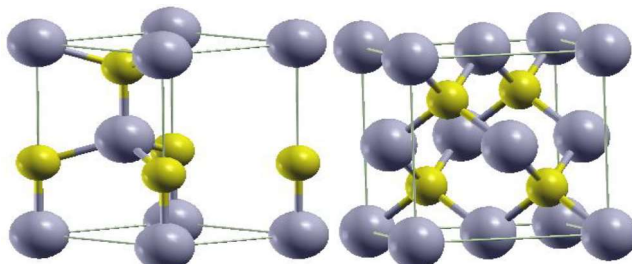
۴۰ / بررسی پارامترهای ساختاری و ساختار نواری InAs در دو فاز بلندرروی و ورتسایت

است، در حالی که در بالای نوار ظرفیت همپوشانی اربیتال‌های p از اتم‌های In و As غالب است.

واژگان کلیدی: InAs، نظریه تابعی چگالی، کوانتم اسپرسو، شبه‌پتانسیل.

۱. مقدمه

نیمرساناهای گروه III-V در حال حاضر در بسیاری از سامانه‌های الکترونیکی از جمله یاخته‌های فوتالکتروشیمیایی، ترانزیستورها، حسگرها، دیودهای نوری و یاخته‌های خورشیدی استفاده می‌شود. ترکیب InAs یکی از ترکیبات این گروه است، که طول موج آن در بازه ۱ تا ۴ میکرومتر است و برای آشکارسازهای مادون قرمز مناسب است [۱]. ساختارهای معمول بسیاری از ترکیبات این گروه به صورت دو فاز بلندرروی (به صورت دو ساختار f_{CC} که نسبت به یکدیگر به اندازه یک چهارم قطر اصلی جابجا شده‌اند، دارای گروه فضایی ($F\bar{4}3m(T_d^2)$) و ورتسایت (دارای گروه فضایی (C_{4v}^6)) می‌باشد. یاخته قراردادی دو فاز در شکل‌های (۱) و (۲) نشان داده شده است. ترکیب InAs از دیدگاه طیف‌سنجی نوری و کاربردهای الکترونوری شامل لیزر، آشکارسازهای فوتونی و حسگرهای گازی، نیمرسانای جالبی با شکاف نواری باریک است. همچنین، به علت داشتن تحرک الکترونی زیاد، ماده‌ای مهم در الکترونیک سریع است [۲]. در سال‌های اخیر، مطالعات نظری فراوانی بر روی حالت‌های انبوه و نانومتری InAs انجام شده است. اثر فشار بر خواص الکترونی ترکیبات گروه III-V بررسی شده است [۳]. خواص الکترونی InAs با روش FP-LAPW مطالعه شده است [۴]. علاوه بر این، می‌توان برای اطلاعات بیشتر و کارهای انجام شده بر روی این ترکیب به مراجع [۵] مراجعه کرد.



شکل ۲ ساختار ورتسایت

شکل ۱ ساختار بلندرروی

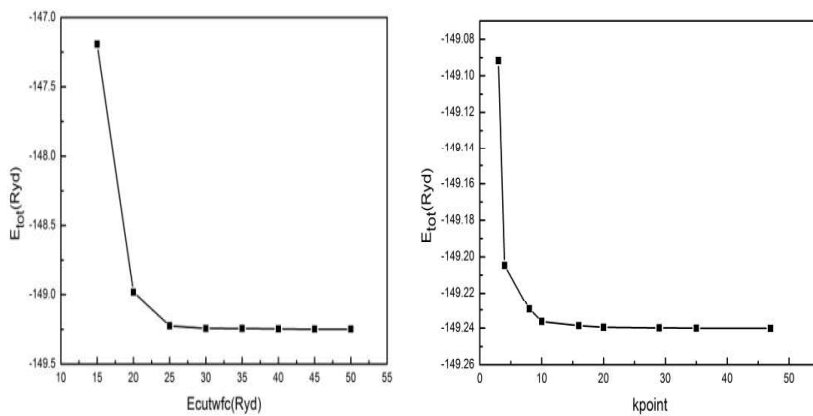
۲. توصیف روش

محاسبات در چارچوب نظریه تابعی چگالی [۹] با استفاده از روش شبه‌پتانسیل توسط بسته Espresso [۱۰] انجام شده‌است. شبه‌پتانسیل‌های به کاررفته از نوع بارپایسته و تابع

تبادلی همبستگی آنها LDA است. در محاسبات خودسازگار، همگرایی را بر مبنای انرژی قرار دادیم و دقت همگرایی را 10^{-4} eV در نظر گرفته‌ایم. برای انجام محاسبات با تعداد زیادی نقاط k مجاز در منطقه‌اول بریلوئن روبرو هستیم که استفاده از همه این نقاط، حجم محاسبات را افزون می‌کند. لذا می‌توان با توجه به تقارن‌های مسئله، به جای حل مسئله در منطقه‌اول بریلوئن، آن را در منطقه‌اول بریلوئن کاسته بررسی کرد. برای این کار، ابتدا تعداد نقاط k بهینه‌سازی شد و نمودارهای مربوط به آن رسم شد. مقدار بهینه کمیت، مقداری است که به ازای مقادیر بیشتر از آن تغییرات انرژی حالت پایه محسوس نباشد. تعداد ۱۰۰۰ نقطه در هر دو فاز با روش مونخورست-پک در نظر گرفته شد که در فاز بلندروی یک توزیع $10 \times 10 \times 10$ و در فاز ورتسایت یک توزیع $12 \times 12 \times 6$ ایجاد شد. یکی از نمودارهای بهینه‌سازی تعداد k -point در شکل (۳) نشان داده شده است. همچنین، در این کار مقدار انرژی قطع رانیز بهینه‌سازی کردیم و یکی از نمودارهای مربوط به این بهینه‌سازی را در شکل (۴) نشان دادیم. مقدار بهینه انرژی قطع را ۳۰ ریدبرگ در نظر گرفتیم. علاوه بر این، تفکیک الکترون‌های مغزه و ظرفیت در این کار برای اتم‌های In و As در جدول (۱) آمده است.

جدول ۱ تفکیک الکترون‌های مغزه و ظرفیت

atom	الکترون‌های مغزه	الکترون‌های ظرفیت
In	$1s^2, 2s^2, 2p^6, 3s^2, 3p^6, 4s^2, 3d^{10}, 4p^6$	$4d^{10}, 5s^2, 5p^1$
As	$1s^2, 2s^2, 2p^6, 3s^2, 3p^6, 3d^{10}$	$4s^2, 4p^3$

شکل ۴ نمودار بهینه‌سازی k -point در فاز بلندرویشکل ۳ نمودار بهینه‌سازی k -point در فاز بلندروی

۴۲ / بررسی پارامترهای ساختاری و ساختار نواری InAs در دو فاز بلندروی و ورتسایت

پارامترهای ساختاری به کاررفته در این محاسبات در جدول (۲) آمده است.

جدول ۲ پارامترهای ساختاری [۳].

پارامتر u	ثابت شبکه c (Å)	ثابت شبکه a (Å)	فاز
-	-	۶,۰۵	بلندروی
.۳۷۵	۶,۹۹	۴,۲۸	ورتسایت

۳. نتایج

الف. پارامترهای ساختاری

یکی از پارامترهای مهم در محاسبات، ثابت شبکه است. برای این منظور انرژی حالت پایه بلور محاسبه و سپس این انرژی با تغییرات جزئی در حوالی حجم تعادلی وردش داده می‌شود. تغییرات انرژی برحسب حجم از طریق معادله حالت مورناقان به صورت زیر داده می‌شود [۱۱]:

$$E(V) = E_0 + \frac{BV_0}{B'} \left[\frac{V}{V_0} + \frac{(V/V_0)^{1-B'}}{B'-1} \right] \quad (1)$$

که در آن، V_0 حجم یاخته اولیه، E_0 انرژی حالت پایه در دما و فشار صفر، B مدول حجمی و B' مشتق آن است. در ادامه، کمیات دیگری از جمله ثابت‌های شبکه و مدول حجمی و مشتق آن محاسبه می‌شود. نتایج این محاسبات برای هر دو فاز به ترتیب در جداول (۳) و (۴) آمده است.

جدول ۳ ثابت شبکه و مدول جمعی و مشتق مدول حجمی فاز بلندروی

	ثابت شبکه a (Å)	B'	مدول حجمی (GPa)
نتایج کار حاضر	۶,۰۵۹	۴,۷۸	۵۹,۲
LDA(PWscf) [۳]	۵,۸۰	۴,۵۵	۶۱,۷
LDA (VASP) [۱۲]	۶,۰۵۹	-----	۶۰,۲
تجربی [۴]	۶,۰۵۴	-----	۵۸

جدول ۴ ثابت شبکه و مدول حجمی و مشتق مدول حجمی فاز ورتسایت

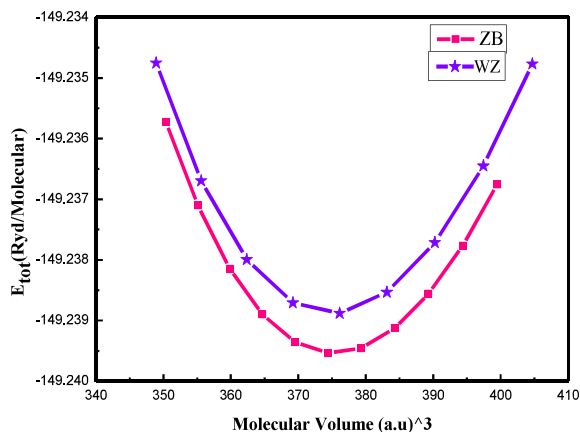
	ثابت شبکه a (Å)	c(Å)	$B(Gpa)$	B'
نتایج کار حاضر	۴,۲۷	۷,۰۱	۵۸,۹	۴,۷۷
LDA (PWscf) [۳]	۴,۱۱	۶,۷۱	۶۰,۹۸	۴,۵۷
تجربی [۴]	۴,۲۸	۶,۹۹	-	-

ب. بررسی پایداری فاز بلندروی و ورتسایت

پایداری فازهای بلندروی و ورتسایت بلور ایندیوم زرنيخ با مقایسه انرژی همدوسي، بررسی شد. انرژي همدوسي عبارت است از تفاوت انرژي کل بلور و انرژي کل اتمها يا ملکولهاي تشکيل دهنده آن هنگامی كه آزادند و آن را با E_c نشان مي دهيم. زمانی يك بلور پایدار است كه مقدار انرژي کل آن از انرژي اجزاي تشکيل دهنده کمتر باشد و داده مي شود با:

$$E_c = \left(\sum_i n_i E_i - E_{tot} \right) / \sum_i n_i \quad (2)$$

كه در آن، E_{tot} انرژي کل ياخته واحد، E_i انرژي اتم i و n_i تعداد هر نوع اتم i در ياخته واحد است [۱۳]. برای محاسبه انرژي اتمهای آزاد، هر يك از اتمهای In و As را در يك شبکه fcc با ثابت شبکه ۲۵ بوهر قرار دادیم. با انجام محاسبات مقدار انرژي همدوسي برای ساختارهای ورتسایت و بلندروی به ترتیب ۴,۲۹ و ۴,۳۰ الکترون ولت و به دست آمد. اختلاف انرژي همدوسي حدود ۱۰ meV است که نشان می دهد بلور ایندیوم زرنيخ در فاز بلندروی پایدارتر است. همچنین، برای تأیید محاسبات انرژي همدوسي، نمودار انرژي بر حسب حجم برای هر دو فاز رسم شد و با توجه به نمودار (۵)، چون نمودار بلندروی پایین تر از ورتسایت قرار دارد، فاز بلندروی پایدارتر است.



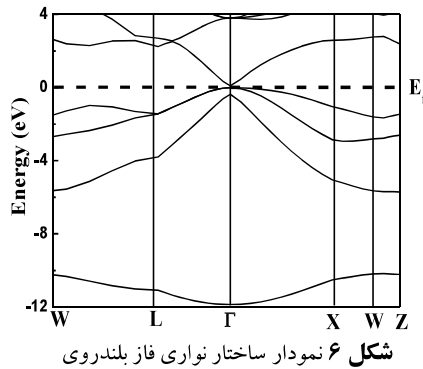
شکل ۵: نمودار انرژی بر حسب حجم واحد ملکول InAs در دو فاز بلندروی و ورتسایت

ج. ساختارنواری

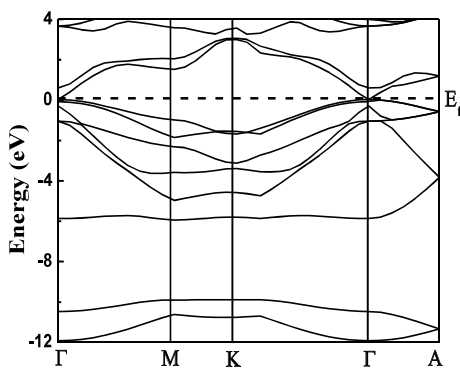
از ساختار نواری می توان ماهیت بلور از جمله فلز یا غیر فلز بودن ماده، اندازه شکاف در صورت وجود و همچنین مستقیم یا غیر مستقیم بودن شکاف را تشخیص داد. علاوه بر آن می توان اتمها و

اریتالهایی را که نقش اساسی تری در گذارهای احتمالی سامانه دارند را شناسایی نمود. چگالی حالت‌ها و ساختار نواری از حل معادلات کوهن-شم و محاسبهٔ ویژه مقادیر انرژی در نقاطی از منطقهٔ اول بریلوئن به‌دست می‌آیند. ساختار نواری در نقاطی با تقارن بالا محاسبه شد که در شکل‌های (۶) و (۷) این نقاط برای فازهای بلندرروی و ورتسایت نشان داده شده است. همچنین چگالی حالت‌های کلی و جزئی بلور ایندیوم زرینیخ برای دو فاز ZB و WZ رسم شده است (شکل‌های ۸ تا ۹) و مقدار شکاف به‌دست آمده از محاسبات و مقادیر تجربی و نظری دیگران در جدول (۵) آورده شده است. نمودار چگالی حالت‌های کل و چگالی حالت هر اریتال اتمی در ساختار بلندرروی در شکل (۸) نشان داده شده است. همچنین چگالی حالت‌های کل و چگالی حالت هر اریتال اتمی در ساختار ورتسایت در شکل (۹) نشان داده شده است.

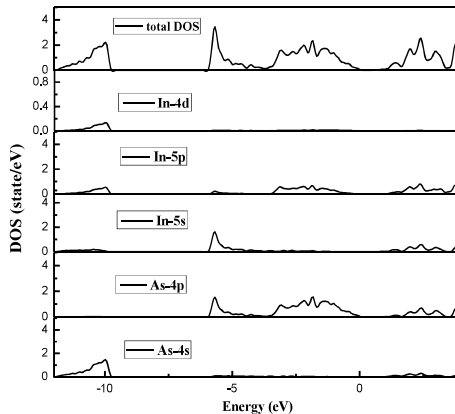
چگالی حالت‌های کل شامل سه دسته نوار انرژی است. نوار ظرفیت که در زیر تراز فرمی قرار دارد، شامل دو زیرتراز است. به اختصار، پایین‌ترین نوار ظرفیت را VB1 و بالاترین نوار ظرفیت را VB2 و نوار رسانش را CB می‌نامیم. نوار CB بیشتر شامل همپوشانی اریتال‌های p اتم‌های VB2 و نوار رسانش را از اتم In تشکیل داده‌اند. در بالای نوار VB2 همپوشانی اریتال‌های p اریتال d اتم In را تشکیل داده‌اند. در کار حاضر از مقدار تجربی اریتال S اتم In جایگزین آن می‌شود. شکاف نواری محاسبه شده در کار حاضر از مقدار تجربی کوچک‌تر است و با نتایج نظری دیگران هم خوانی دارد. نظریهٔ تابعی چگالی مقدار شکاف نواری را کوچک‌تر از مقادیر تجربی محاسبه می‌کند. برای رفع این مشکل تقریب‌های جدیدی برای تابع تبادلی-همبستگی وارد این نظریه شده است، که مقدار شکاف را نزدیک به مقدار تجربی به‌دست می‌آورد.



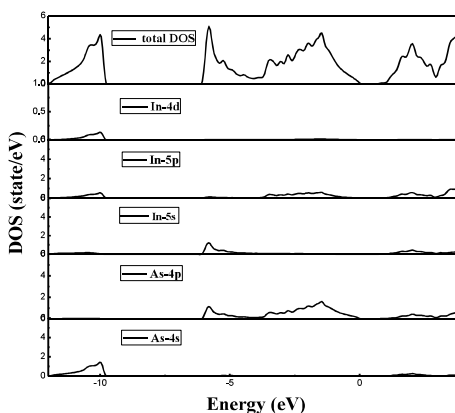
شکل ۶ نمودار ساختار نواری فاز بلندرروی



شکل ۷ نمودار ساختار نواری فاز ورتسایت



شکل ۸ چگالی حالت‌های کل و چگالی حالت هر اربیتال اتمی در ساختار بلندروی

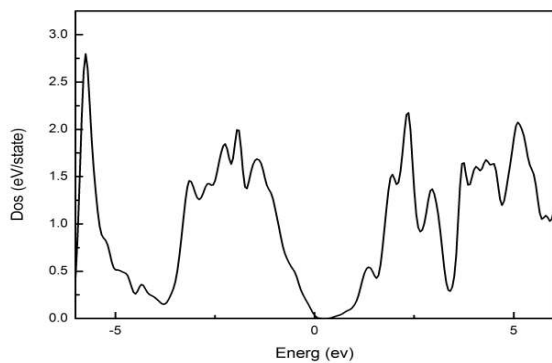


شکل ۹ چگالی حالت‌های کل و چگالی حالت هر اربیتال اتمی در ساختار ورتسایت

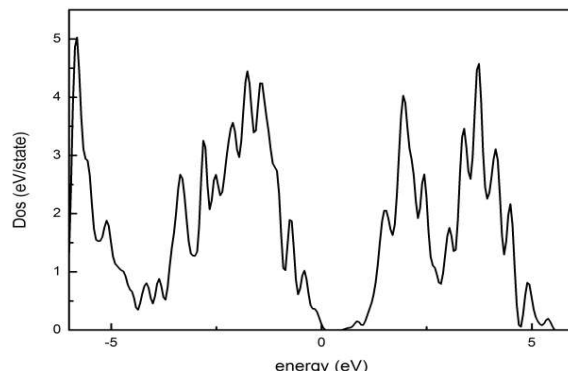
جدول ۵ شکاف نواری ترکیب ایندیوم آرسناید

روش	شکاف نواری فاز بلندرروی (eV)	شکاف نواری فاز ورتسایت (eV)
کار حاضر	.	.
[۴]LDA (Wien2k)	۰/۳۹۵	۰/۴۴۴
[۱۵]GW	۰/۳۱۰	-----
[۱۶]LDA (VASP)	-----	.
[۱۶]LDA (FP-LAPW)	.	-----
تجربی	۰/۴۱۵[۴]	۰/۶۶۰[۱۴]

همچنین چگالی حالت‌های کل InAs بر حسب انرژی در گستره ۶-الکترون‌ولت تا ۶ الکترون‌ولت در شکل‌های (۱۰) و (۱۱) رسم شده است. درنظر گرفتن اسپین تفاوت چندانی در محاسبات ایجاد نکرد. انرژی صفر نشان‌دهنده تراز فرمی است. این نمودارها نشان‌دهنده خاصیت نیمرسانایی بلور InAs است، که با نمودار ساختار نواری سازگاری دارد.



شکل ۱۰ نمایش چگالی حالت‌های کل در فاز ورتسایت



شکل ۱۱ نمایش چگالی حالت‌های کل در فاز بلندرروی

۴. نتیجه‌گیری

در این مقاله، خواص ساختاری و الکترونی بلور InAs توسط روش شبه‌پتانسیل بارپایسته با تقریب LDA بررسی شد. نتایج بیانگر آن است که مقادیر ثابت شبکه محاسبه شده برای حالت انبوه سازگاری خوبی با نتایج تجربی دارد و مقدار شکاف نواری محاسبه شده در هر دو فاز از مقدار تجربی کوچک‌تر به دست آمد، که بیانگر نیم‌رسانا بودن As و پایدارتر بودن فاز بلندروی است. همچنین، نتایج حاصل از مشارکت اریتال‌های مختلف در اطراف تراز فرمی بیانگر مشارکت عمده اریتال‌های p اتم‌های In و As است.

۵. تقدیر و تشکر

این تحقیق توسط دانشگاه شهید چمران اهواز؛ ایران [SCU.SP98.490] پشتیبانی شد.

منابع

- [1] Umar M. F. and Othman A. P., "Density of states calculation for Indium-Arsenide zincblende based on density functional theory", *KMITL Sci. Tech. J.* Vol. 9, No. 2 (2009).
- [2] Mohammad R., PhD. Theses, "The electronic band structure of III (In, Al, Ga)-V (N, As, Sb) compounds and ternary alloys", Middle East Technical University (2005).
- [3] Wang S. Q. and Ye H. Q., "A plane-wave pseudopotential study on III-V zincblende and wurtzite semiconductors under pressure", *J. Phys.: Condens. Matter* 14, 9579-9587 (2002).
- [4] Zanolli Z. and Barth U. V., "All-electron study of InAs and GaAs wurtzite structural and electronic properties", arXiv:cond-mat/0610066v2 (2007).
- [5] Mohammad R., Katrcog S and El-Hasan M. "The electronic band structure of InN, InAs and InSb compounds", *J. Mater. Sci.* 43, 2935–2946(2008).
- [6] Cakan A., Sevik C. and Bulutay C., "Strained band edge characteristics from hybrid density functional theory and empirical pseudopotentials: GaAs, GaSb, InAs and InSb", arXiv:1605.06807v1 [cond-mat.mtrl-sci] (2016).
- [7] Garwood T. , Modine N. A. and Krishna S., "Electronic structure modeling of InAs/GaSb superlattices with hybrid density functional theory", *Infrared Physics & Technology*, Vol 81, 27-31(2017).
- [8] Caid M., Rached D., Cheref O., Righi H., Rached H., Benalia S., Merabet M. and Djoudi L., "Full potential study of the structural, electronic and optical properties of (InAs)m/(GaSb)n superlattices", *Computational Condensed Matter*, Vol 21, e00394(2019).
- [9] Opple M., "DFT-Density Functional Theory", (2002).
- [10] <http://www.quantum-espresso.org>.
- [11] Murnaghan F. D., "The compressibility of media under extreme pressure", *Proc. Nat. Acad. Sci.* 30, 244 (1994).
- [12] Santos C. L. D. and Piquini P., "Diameter dependence of mechanical, electronic, and structural properties of InAs and InP nanowires: A first-principles study", *Phys. Rev. B* 81, 075408 (2010).
- [13] Akiyama T., Nakamura K. and Ito T., "Structural stability and electronic structures of InP nanowires: Role of surface dangling bonds", *Phys. Rev. B* 73, 235308 (2006).

- [14] Shu H., Chen X., Zhao H., Zhou X., and Lu W., "Structural Stability and Electronic Properties of InAs Nanowires and Nanotubes: Effects of Surface and Size", *J. Phys. Chem. C* 114, 17514–17518 (2010).
- [15] Remediakis I. N. and Kaxiras E., "Band-structure calculations for semiconductors within generalized density functional theory", *Phys. Rev. B* 59, 5536 (1999).
- [16] Ahmed R., Hashemifar S. J., Akbarzadeh H., Ahmed M. and Aleem F., "Ab initio study of structural and electronic properties of III-arsenide binary compounds", *Computational Materials Science* 39, 580–586 (2007).